

多重しきい値関数の合成。

今宮淳美，野口正一，大泉充郎。

(東北大学電気通信研究所)

序文 しきい値論理に関する、従来種々の方面から研究がなされてきた。与えられた論理関数がしきい値関数かどうかの決定、しきい値関数の合成（各パラメータの決定）、また任意の論理関数を合成するためのしきい値回路網の構成、神経系モデルとしてのランダムしきい値素子回路網、多値しきい値論理などである。本論文は、しきい値回路網の教種類のモデルについて、その基本的な性質や能力の考察である。主に考察する回路網では、各しきい値素子の効率ベクトルを同一とし、しきい値と素子間の結合度を可変とする可変しきい値回路網である。各素子の効率ベクトルを同一としたしきい値回路網は、幾何学的表現をすれば、 n 次元空間に於く單位立方体の各頂点を、実現すべき論理関数に従って、各しきい値素子がつくる幾つかの平行超平面で分割する。一般に論理関数は、幾つかのしきい値を有する多重しきい値関数とみられるから、各素子の効率ベクトルを同一とし、しきい値回路網は、多重しきい値関数を合成する。

§1. 準備

以下で必要となる表記、定義、性質について述べる。

[定義] しきい値関数の標準形を次式であらわす。

$$f_t(x_1, \dots, x_m) = (1^{w_0}, x_1^{w_1}, \dots, x_m^{w_m}) = (1^{w_0}, \lambda_w). \quad (1.1)$$

$w = (w_1, \dots, w_m)$; ともみベクトル, 1; 入力定数,

$x_i = (1 \text{ 又は } 0)$; 入力変数。

定義に従えば、しきい値関数は次の様に述べられる。

$$x_j = (x_{j1}, \dots, x_{jn}) \in f_t^{-1}(1) \text{ に対して } \sum_{i=1}^n w_i x_{ji} \geq T.$$

$$x_j = (x_{j1}, \dots, x_{jn}) \in f_t^{-1}(0) \text{ に対して } \sum_{i=1}^n w_i x_{ji} < T.$$

$$\text{但し, } T = \frac{1}{2} \left(\sum_{i=1}^n w_i - w_0 \right); \text{ しきい値}.$$

[定義] しきい値関数 $f_t = (1^{w_0}, \lambda_w)$ が与えられたとき、

この山と変数および、ともみベクトルが等しく、定数のともみだけを異にする一連の関数を同族関数と言う。

[性質 1.1] 2つの同族関数 $f_\alpha = (1^\alpha, \lambda_w), f_\beta = (1^\beta, \lambda_w)$ の間に大小関係が存在して、 $\alpha \leq \beta \Leftrightarrow f_\alpha \subseteq f_\beta$,

但し、大小関係 $f_\alpha \subseteq f_\beta$ は、 $f_\alpha = 1$ ならば $f_\beta = 1$ なること。

[性質 1.2] $f_t = (1^{w_0}, x_1^{w_1}, \dots, x_m^{w_m})$ を任意の変数 x_i について展開すれば、 w_i の正負により次式が得られる。

$$f_t = x_i f_i + f_0, \quad f_t = f_i + \bar{x}_i f_0. \quad (1.2)$$

但し、 $f_i = (1^{w_0+w_i}, x_1^{w_1}, \dots, x_{i-1}^{w_{i-1}}, x_{i+1}^{w_{i+1}}, \dots, x_m^{w_m})$,

$$f_0 = (1^{w_0-w_i}, x_1^{w_1}, \dots, x_{i-1}^{w_{i-1}}, x_{i+1}^{w_{i+1}}, \dots, x_m^{w_m}).$$

ここで基本的なしきい値回路網によつて実現される論理関数の一 般形について考察する。

図1.1 に於て、出力の論理函数 H_2 は次の様になる。

$$\omega > 0 ; H_2 = h_1 \cdot (1^{w_{02}+\omega}, \lambda_{W_2}) + (1^{w_{02}-\omega}, \lambda_{W_2})$$

$$\omega < 0 ; H_2 = (1^{w_{02}+\omega}, \lambda_{W_2}) + \bar{h}_1 \cdot (1^{w_{02}-\omega}, \lambda_{W_2}). \quad (1.3).$$

これを基礎として K 個のしきい値素子のカスケード回路網、2層回路網、ハイブリッド回路網(図1.2)の実現ある論理函数 H_k を求める。

A) カスケード回路網.

素子 $(i-1)$ と素子 i の結合度を $\omega_{i-1,i}$ と表わす。

$$h_i = (1^{w_{0i}-\omega_{i-1,i}}, \lambda_{W_i}), \quad h_{i-1,i} = (1^{w_{0i}+\omega_{i-1,i}}, \lambda_{W_i}) \text{ とあく。}$$

但し、 $(1^{w_{0i}}, \lambda_{W_i})$ は素子 i のみで発生されるしきい値函数。

$$\omega_{i-1,i} > 0, \quad (2 \leq i \leq K); \quad H_i = h_i + h_{i-1,i} \cdot H_{i-1}, \quad H_1 = h_1 = (1^{w_{01}}, \lambda_{W_1}).$$

上の漸化式より H_k の一般形が次式で与えられる。

$$H_k = \sum_{i=1}^K \prod_{j=i+1}^K h_i \cdot h_{j-1,j} \quad (1.4a)$$

Σ, Π は各々論理和、論理積を表わす。

$$\omega_{i-1,i} < 0; \quad H_i = h_{i-1,i} + h_i \cdot \bar{H}_{i-1}, \quad H_1 = h_1$$

$$K: \text{奇数}, \quad H_k = \sum_{j=1}^{K+1/2} \left\{ \prod_{\ell=j}^{K+1/2} h_{2j-2,2j-1} \cdot \bar{h}_{2\ell-1,2\ell} \cdot h_{2\ell+1} + \prod_{\ell=j}^{K+1/2} \bar{h}_{2j} \cdot h_{2\ell+1} \cdot \bar{h}_{2\ell+1,2\ell+2} \right\}$$

$$K: \text{偶数}, \quad H_k = \sum_{j=1}^{K/2} \left\{ \prod_{\ell=j}^{K/2} \bar{h}_{2j-1} \cdot h_{2\ell} \cdot \bar{h}_{2\ell,2\ell+1} + \prod_{\ell=j}^{K/2} h_{2j-1,2j} \cdot \bar{h}_{2\ell,2\ell+1} \cdot h_{2\ell+2} \right\} \quad (1.4b)$$

B) 2層回路網.

$$H_k = (1^{w_{0k}}, \lambda_{W_k}, h_1^{\omega_{1k}}, h_2^{\omega_{2k}}, \dots, h_{k-1}^{\omega_{k-1,k}}), \quad h_i = (1^{w_{0i}}, \lambda_{W_i}),$$

$$h_{\{J_\alpha\},k} = (1^{w_{0k} + \sum_{p \in \{J_\alpha\}} \omega_{pk} - \sum_{\ell \in \{J_\alpha\}} \omega_{ek}}, \lambda_{W_k}) \text{ とあく。}$$

$\{J_\alpha\}$: 添数 $(1, 2, \dots, k-1)$ のベキ集合。

$$\omega_{i,k} > 0 \quad (1 \leq i \leq k-1) ; \quad H_k = \sum_{\alpha} \prod_{j \in \{J_\alpha\}} h_j \cdot h_{\{\bar{J}_\alpha\},k} \quad (1.5a)$$

$$\omega_{i,k} < 0 ; \quad H_k = \sum_{\alpha} \prod_{j \in \{J_\alpha\}} \bar{h}_j \cdot h_{\{\bar{J}_\alpha\},k} , \quad \{\bar{J}_\alpha\} : \{\bar{J}_\alpha\} \text{ の補集合} \quad (1.5b)$$

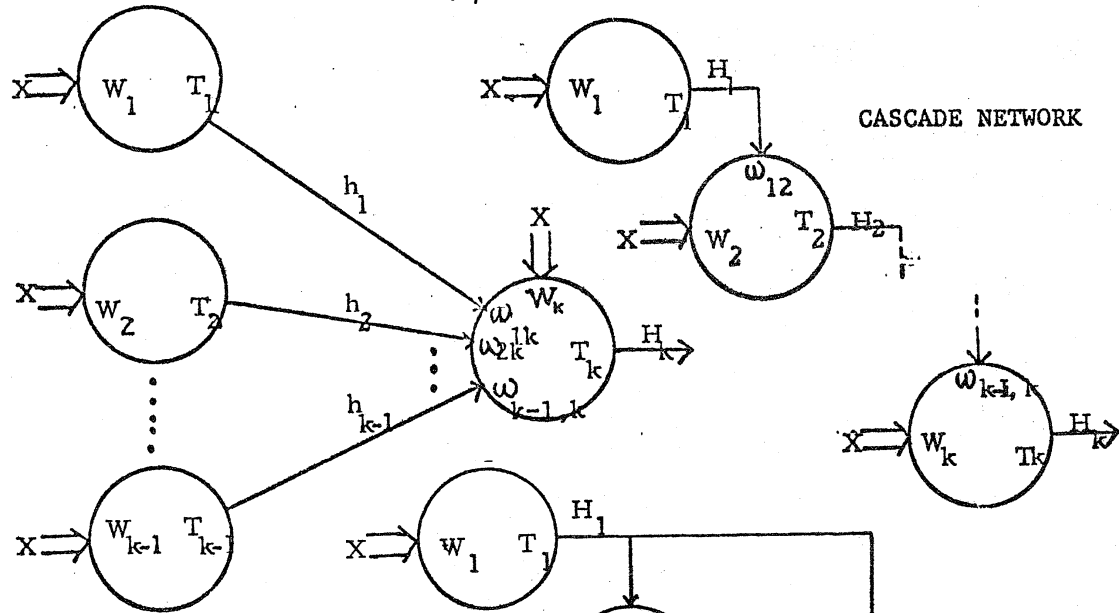
C). 八つリッド回路網.

$$H_k = (1^{\omega_{0k}}, \lambda_{W_k}, H_1^{\omega_{1k}}, H_2^{\omega_{2k}}, \dots, H_{k-1}^{\omega_{(k-1)k}}), \quad H_j = (1^{\omega_{0j}}, \lambda_{W_j}, H_1^{\omega_{1j}}, \dots, H_{j-1}^{\omega_{(j-1)j}})$$

$$h_{\{\bar{J}_\alpha\},k} = (1^{\omega_{0k} + \sum_{l \in \{J_\alpha\}} \omega_{pk} - \sum_{l \in \{\bar{J}_\alpha\}} \omega_{ek}}, \lambda_{W_k}) \quad \& \quad j_0 < .$$

$$\omega_{ij} > 0, \quad (1 \leq i \leq k-1, \quad 2 \leq j \leq k) ; \quad H_k = \sum_{\alpha} \prod_{j \in \{J_\alpha\}} H_j \cdot h_{\{\bar{J}_\alpha\},k} \quad (1.6a)$$

$$\omega_{ij} < 0 ; \quad H_k = \sum_{\alpha} \prod_{j \in \{J_\alpha\}} \bar{H}_j \cdot h_{\{\bar{J}_\alpha\},k} \quad (1.6b).$$



2-LEVEL NETWORK



図 1.1.

図 1.2.

§ 2. 回路網の性質と能力。

[定義] 次の様な論理関数を多重しきい値関数と言う。

$$\sum_{i=1}^n w_i x_i > T_1, \quad T_2 > \sum_{i=1}^n w_i x_i > T_{2j+1} \Rightarrow f(x) = 1.$$

その他 $\Rightarrow f(x) = 0.$

2.1 出力関数。

図 1.1 に於て、あらみベクトルを同じくして場合 ($w_1=w_2=w$) に実現される関数 H_2 を考える。

i) $\omega > 0 ; H_2 = h_1(1^{w_{02}+\omega}, \lambda_w) + (1^{w_{02}-\omega}, \lambda_w).$

さらに $w_{01} > w_{02} + \omega, w_{01} < w_{02} + \omega$ の各々の場合、

$H_2 = (1^{w_{02}+\omega}, \lambda_w), H_2 = h_1 + (1^{w_{02}-\omega}, \lambda_w)$ を実現する。

ii) $\omega < 0 ; H_2 = (1^{w_{02}+\omega}, \lambda_w) + \bar{h}_1(1^{w_{02}-\omega}, \lambda_w) \quad (2.1)$

$T_1 = \frac{1}{2}(\sum_{i=1}^m w_i - w_{01}), \quad T_2 = \frac{1}{2}\{\sum_{i=1}^m w_i - (w_{02}-\omega)\}$ とおくと、

(2.1) は図 2.1 に示す論理関数となる。

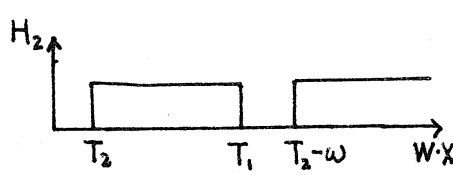


図 2.1

上記のことから知られるように、あらみベクトルを固定して、しきい値を変化させることにより H_2 は種々の関数となりうる。

2.2 カスケード回路網。

図 1.2 に示すカスケード回路網の出力関数 H_k について考察する。あらみベクトルは各要素について同一で w とする。

$$H_k = (1^{w_{0k}}, \lambda_w, H_{k-1}^{w_{k-1,k}}), \quad H_i = (1^{w_{0i}}, \lambda_w, H_{i-1}^{w_{i-1,i}})$$

以下の考察では、(2.1) にみられる一般の論理関数を対象とするから、素子間の結合度を負と仮定する。 H_k の展開式を (1.4b) の特殊な場合として求める。注意すべきことは、展開式では同族関数間の論理積があるから、関数の大小関係から一方の関数は消去される。ここで定数のあらみと、結合度に次の大小関係を与える。

$$w_{0k} - w_{k-1,k} > w_{0k-1} - w_{k-2,k-1} > \cdots > w_0 > w_{02} + w_{12} > \cdots > w_{0k} + w_{k-1,k}$$

この条件で H_k を展開して関数の大小関係による性質 ($f \leq f'$, $\Rightarrow f_0 + f_1 = f_1$, $f_0 \cdot f_1 = f_0$) を用いて式を簡単にすれば、しきい値関数と、その同族関数の complement との論理積の和で、項数が最大なる式が得られる。 $f_{2j-1} = (1^{w_{0,2j-1} - w_{2j-2,2j-1}}, \lambda_w)$, $g_{2j-1} = (1^{w_{0,2j-1} + w_{2j-2,2j-1}}, \lambda_w)$ とする。

$$k; \text{奇数}, \quad H_k = \sum_{j=1}^{k+1/2} \{ f_{2j} \cdot \bar{f}_{2j} + g_{2j-1} \cdot \bar{g}_{2j} \}, \quad (2.2)$$

$$k; \text{偶数}, \quad H_k = \sum_{j=1}^{k/2} \{ f_{2j} \cdot \bar{f}_{2j-1} + g_{2j} \cdot \bar{g}_{2j+1} \}, \quad (2.3), \quad \bar{g}_{k+1} = 1$$

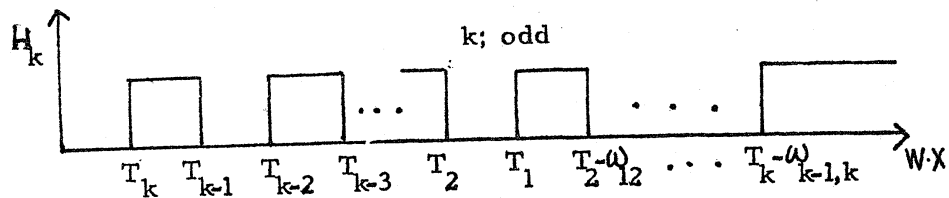
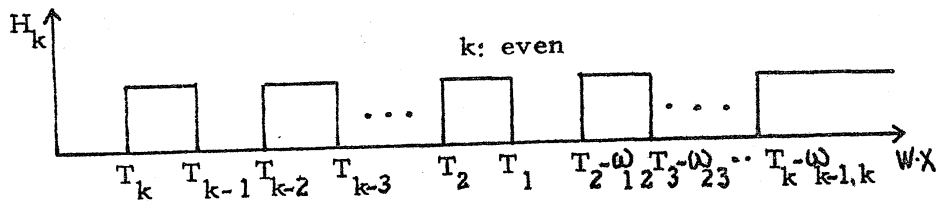


図 2.2

$$T_j = \frac{1}{2} \left\{ \sum_{i=1}^n w_i - (w_{0j} - w_{j-1,j}) \right\}$$

[性質2.1] カスケード回路網で発生するしきい値の最大個数は $(2K-1)$ 。但し K は素子数。

2.3 2層回路網

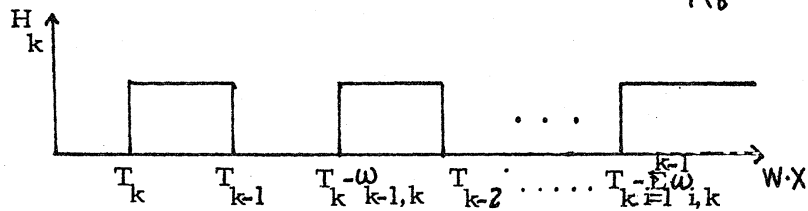
この回路網の出力関数 H_k (1.5b) の特殊な場合となる。

次の大小関係を与える。 $w_{0k-1} > w_{0k-2} > \dots > w_{01} \Leftrightarrow h_{k-1} > h_{k-2} > \dots > h_1$,
 $w_{0k} - \sum_{i=1}^{k-1} w_{ik} > w_{0k-1} > w_{0k} - \sum_{i=1}^{k-2} w_{ik} + w_{k-1,k} > w_{0k-2} > \dots > w_{01} > w_{0k} + \sum_{i=1}^{k-1} w_{ik}$

これらの条件のもとで H_k を展開して、カスケード回路網の場合と同様に簡単化すれば次式が得られる。

$$H_k = \sum_{j=0}^{k-1} \bar{h}_j \cdot (1^{w_{0k}} - \sum_{i=1}^j w_{ik} + \sum_{i=j+1}^{k-1} w_{ik}, \lambda_w), \quad \bar{h}_j = (1^{w_{0j}}, \lambda_w), \quad (2.4)$$

$$\bar{h}_0 = 1.$$



$$T_k = \frac{1}{2} \left\{ \sum_{i=1}^n w_i - (w_{0k} - \sum_{i=1}^{k-1} w_{ik}) \right\} \quad , \quad T_j = \frac{1}{2} \left\{ \sum w_i - w_{0j} \right\}$$

図 2.3

[性質2.2] 2層回路網で発生するしきい値の最大個数は $(2K-1)$ 。

[性質2.1] と [性質2.2] より次のことが言える。

[性質2.3] カスケード回路網と2層回路網は、発生するしきい値の個数の面から等価である。

2.4 2次元格子状回路網

図2.4に示す $K \times L$ 2次元格子状回路網の出力関数 H_{KL} は

次式で与えられる。

$$H_{KL} = (1^{\omega_{OKL}}, \lambda_W, H_{K(L-1)}^{\omega_{K(L-1), KL}}, H_{(K-1)L}^{\omega_{(K-1)L, KL}}) \quad , \quad (2.5)$$

但し $H_{ij} = (1^{\omega_{Oij}}, \lambda_W, H_{i(j-1)}^{\omega_{i(j-1), ij}}, H_{(i-1)j}^{\omega_{(i-1)j, ij}}) \quad , \quad 1 \leq i, j \leq k.$

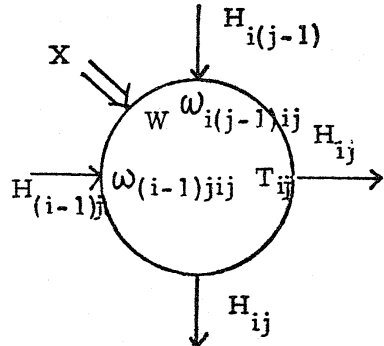
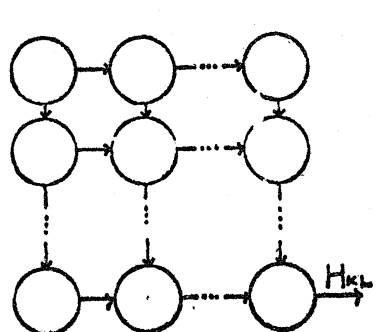


図24.

[性質2.4] $K \times L$ 次元格子状回路網に於て得られる、しきい値の最大個数は $(2K-1)(2L-1)$.

しきい値の最大個数を求めるには、各素子固有のしきい値と、それらと結合度の組合せを数え上げる。(証明略)

2.5 ハイブリッド回路網

出力関数 H_K は (1.66) の特殊な場合 ($W_i = W$) になるが、 H_K を展開することは煩雑であり、ここでは得られるしきい値の最大個数と、その求める手順を示す。またしきい値の減少の様子(発生するしきい値の大小関係を入れ替えることによる)を示す。

[性質2.5] K 個の素子によるハイブリッド回路網に於て、得られるしきい値の最大個数は $2^K - 1$.

(証明). 各素子固有のしきい値の個数は K 。 l 番目の

素子は、 $(l-1)$ 番目以下からの $(l-1)$ 入力があるから、それらに対する結合度の組合せを数え上げる。

$$K + \sum_{k=2}^L \sum_{i=1}^{l-1} \binom{l-1}{i} = 2^k - 1.$$

次に最大個数のしきい値の存在の証明を示す。ある入力ベクトル X に対して、ハイブリッド回路網の各段の出力関数 (H_1, H_2, \dots, H_k) を状態列とよぶことにある。この状態列は、 $(0, 0, \dots, 0)$ から $(1, 1, \dots, 1)$ の 2^k の状態をとりうるから、これらの状態列をすべて発生させるようにしきい値を順序づければ、しきい値の最大個数 $2^k - 1$ が得られる。

素子が2個の場合、図2.1に示されるしきい値の配列となる。 $(T_2, T_1, T_2 - \omega_{12}) \equiv (2, 1, 12)$ と略記する。一般の因子 i_1, i_2, \dots, i_p は、しきい値 $T_{ip} - \sum_{j < p} \omega_{ij} i_p$ に対応する。

しきい値は帰納的に構成される； $(k-1)$ 個の素子で因子 i_1, i_2, \dots, i_k があれば、素子数 K の場合、因子 $i_1, i_2, \dots, i_k K$ をつくり、 K に関する因子の順序は、素子数 $(k-1)$ の場合と同じくある。次に $(k-1)$ 個の素子で構成された因子と、 K に関する因子を順序どおりに1つずつ交互に配列することによって、ハイブリッド回路網を構成する。

(存在の証明)：素子数 $(k-1)$ までは構成が正しいと仮定する。 $\Rightarrow (k-1, k-2, \dots, 12 \dots (k-1))$ 。アルゴリズムより、 $K, (k-1)K, (k-2)K, \dots, 12 \dots (k-1)K$ をつくる。

$$\Rightarrow \{K, K-1, (K-1)K, (K-2), (K-2)K, \dots, 12\dots(K-1), 12\dots(K-1)K\}$$

が得られる。仮定の構成から図 2.5 の様に図る。

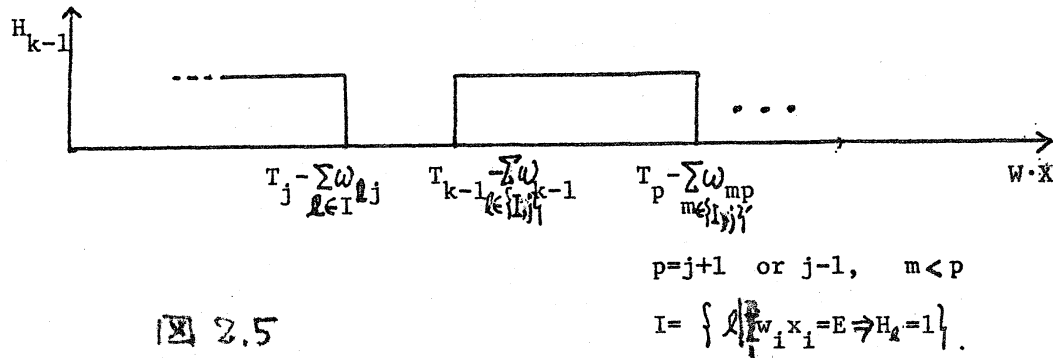


図 2.5

$$1) T_j - \sum_{l \in I} \omega_{lj} < E < T_{k-1} - \sum_{l \in I \setminus \{j\}} \omega_{lk-1} \Rightarrow H_{k-1} = 0.$$

$$2) T_{k-1} - \sum_{l \in I \setminus \{j\}} \omega_{lk-1} < E < T_p - \sum_{m \in I \setminus \{j\}} \omega_{mp} \Rightarrow H_{k-1} = 1.$$

$$H_k = (1^{w_{0k}}, \lambda_w, H_1^{w_{1k}}, H_2^{w_{2k}}, \dots, H_{k-1}^{w_{k-1,k}})$$

$$= H_{k-1} (1^{w_{0k} + w_{k-1,k}}, \lambda_w, H_1^{w_{1k}}, H_2^{w_{2k}}, \dots, H_{k-2}^{w_{k-2,k}})$$

$$+ \bar{H}_{k-1} (1^{w_{0k} - w_{k-1,k}}, \lambda_w, H_1^{w_{1k}}, H_2^{w_{2k}}, \dots, H_{k-2}^{w_{k-2,k}})$$

1) の場合 ; $H_{k-1} = 0$ であるから ,

$$H_k = (1^{w_{0k} - w_{k-1,k}}, \lambda_w, H_1^{w_{1k}}, H_2^{w_{2k}}, \dots, H_{k-2}^{w_{k-2,k}}), T_j - \sum_{l \in I} \omega_{lj} < E \text{ なり}$$

$$H_k = (1^{w_{0k} - w_{k-1,k} + \sum_{l \in I \setminus \{j\}} \omega_{lk} - \sum_{l \in I \setminus \{j\}} \omega_{lk}}, \lambda_w). \therefore \text{この} \bar{I} \text{の} \bar{w}_{lk} \text{の値を}$$

\bar{I} とする。

$$\begin{aligned} \bar{I} &= \frac{1}{2} \left\{ \sum_{i=1}^n w_i - (w_{0k} - w_{k-1,k} + \sum_{l \in I \setminus \{j\}} \omega_{lk} - \sum_{l \in I \setminus \{j\}} \omega_{lk}) \right\} \\ &= \frac{1}{2} \left\{ \sum_{i=1}^n w_i - (w_{0k} - \sum_{l=1}^{k-1} \omega_{lk} + \sum_{l \in I \setminus \{j\}} \omega_{lk}) \right\} \\ &= \frac{1}{2} \left\{ \sum_{i=1}^n w_i - (w_{0k} - \sum_{l=1}^{k-1} \omega_{lk}) \right\} - \sum_{l \in I \setminus \{j\}} \omega_{lk} = \bar{I}_k - \sum_{l \in I \setminus \{j\}} \omega_{lk} \end{aligned}$$

従つて次の a), b) が成り立つ。

$$a) T_j - \sum_{l \in I} \omega_{lj} < E < T_k - \sum_{l \in I \setminus \{j\}} \omega_{lk} \Rightarrow H_k = 0.$$

$$b) \quad T_k - \sum_{l \in I, j} \omega_{l,k} < E < T_{k-1} - \sum_{l \in I, j} \omega_{l,k-1} \Rightarrow H_k = 1.$$

2) の場合 ; $H_{k-1} = 1$ であるから

$$H_k = (1^{w_{0,k} + \omega_{k-1,k}}, \lambda_w, H_1^{\omega_{1,k}}, H_2^{\omega_{2,k}}, \dots, H_{k-2}^{\omega_{k-2,k}}), \quad T_{k-1} - \sum_{l \in I, j} \omega_{l,k-1} < E \\ \text{すなはち}, \quad H_k = (1^{w_{0,k} + \omega_{k-1,k} + \sum_{l \in I, j} \omega_{l,k} - \sum_{l \in I, j} \omega_{l,k}}, \lambda_w).$$

∴ そのしきい値を T' とする。

$$T' = \frac{1}{2} \left\{ \sum_{i=1}^n w_i - (w_{0,k} + \omega_{k-1,k} + \sum_{l \in I, j} \omega_{l,k} - \sum_{l \in I, j} \omega_{l,k}) \right\} \\ = \frac{1}{2} \left\{ \sum_{i=1}^n w_i - (w_{0,k} - \sum_{l=1}^{k-1} \omega_{l,k} + \sum_{l \in I, j, k-1} \omega_{l,k}) \right\} = T_k - \sum_{l \in I, j, k-1} \omega_{l,k}$$

従って次の c), d) が成り立つ。

$$c) \quad T_{k-1} - \sum_{l \in I, j} \omega_{l,k-1} < E < T_k - \sum_{l \in I, j, k-1} \omega_{l,k} \Rightarrow H_k = 0$$

$$d) \quad T_k - \sum_{l \in I, j, k-1} \omega_{l,k} < E \Rightarrow H_k = 1$$

a), b), c), d) を図示すると図 2.6 となる。因子の表示をすれば $l_1 l_2 \cdots l_m j$, $l_1 l_2 \cdots l_m j (k-1)$ の各々に対して,
 $l_1 l_2 \cdots l_m j K$, $l_1 l_2 \cdots l_m j (k-1) K$ をつくり、それらを交互に配列する。 $l_1 l_2 \cdots l_m j$, $l_1 l_2 \cdots l_m j K$, $l_1 l_2 \cdots l_m j (k-1)$, $l_1 l_2 \cdots l_m j (k-1) K$ となる。これは構成の手順である。

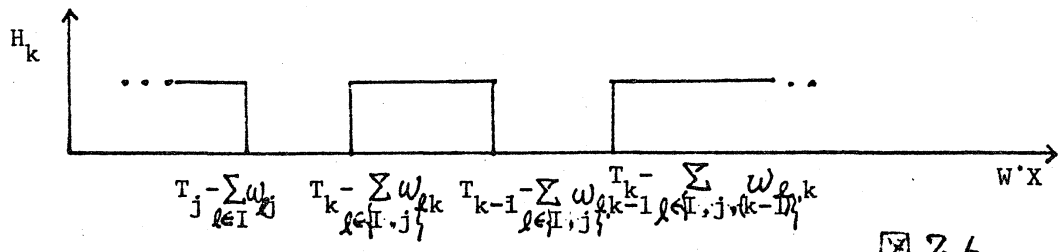


図 2.6

例] $K=3$; $(2, 1, 12)$ に対して $(3, 23, 13, 123)$ をつくる。3 に関する因子と、2 に関する因子を交互に配列する。

$(3, 2, 23, 1, 13, 12, 123) \equiv (\bar{T}_3, \bar{T}_2, \bar{T}_3 - \omega_{23}, \bar{T}_1, \bar{T}_3 - \omega_{13}, \bar{T}_2 - \omega_{12}, \bar{T}_3 - \omega_{13} - \omega_{23})$. これらは状態列 (H_1, H_2, H_3) の 8 状態をつくる。同様に $k=4$ の場合、 $(4, 3, 34, 2, 24, 23, 234, 1, 14, 13, 134, 12, 124, 123, 1234) \equiv (\bar{T}_4, \bar{T}_3, \bar{T}_4 - \omega_{34}, \bar{T}_2, \bar{T}_4 - \omega_{24}, \bar{T}_3 - \omega_{23}, \bar{T}_4 - \omega_{24} - \omega_{34}, \bar{T}_1, \bar{T}_4 - \omega_{14}, \bar{T}_3 - \omega_{13}, \bar{T}_4 - \omega_{14} - \omega_{34}, \bar{T}_2 - \omega_{12}, \bar{T}_4 - \omega_{14} - \omega_{24}, \bar{T}_3 - \omega_{13} - \omega_{23}, \bar{T}_4 - \omega_{14} - \omega_{24} - \omega_{34})$.

次に $(k-1)$ 個の素子で構成されたときの値と、 k に属するときの値を順序どおりに 1 つずつ交互に配列できるための条件を求める。(構成の十分条件)

$$(A) \quad \bar{T}_j - \sum_{l \in I} \omega_{lj} = \frac{1}{2} \left\{ \sum_{i=1}^n w_i - (w_{0j} - \sum_{l=1}^{j-1} \omega_{lj}) \right\} - \sum_{l \in I} \omega_{lj} \\ = \frac{1}{2} \left\{ \sum_{i=1}^n w_i - (w_{0j} + \sum_{l \in I} \omega_{lj} - \sum_{l \notin I} \omega_{lj}) \right\}.$$

$$(B). \quad \bar{T}_{k-1} - \sum_{l \in I, j \in I} \omega_{lj} = \frac{1}{2} \left\{ \sum_{i=1}^n w_i - (w_{0k-1} + \sum_{l \in I, j \in I} \omega_{lj} - \sum_{l \notin I, j \leq k-1} \omega_{lj}) \right\}.$$

$$(C). \quad \bar{T}_k - \sum_{l \in I, j \in I} \omega_{lj} = \frac{1}{2} \left\{ \sum_{i=1}^n w_i - (w_{0k} + \sum_{l \in I, j \in I} \omega_{lj} - \sum_{l \notin I, j \leq k} \omega_{lj}) \right\}.$$

$(k-1)$ 個までは、正しく構成されたと仮定しているから次の不等式が成り立つ。

$$w_{0j} + \sum_{l \in I} \omega_{lj} - \sum_{l \notin I} \omega_{lj} > w_{0k-1} + \sum_{l \in I, j \in I} \omega_{lj} - \sum_{l \notin I, j \leq k-1} \omega_{lj} \quad (1).$$

但し、 $1 \leq j \leq k-2$. ここで満足すべき条件は $(A) < (C) < (B)$.

$$\Rightarrow w_{0j} + \sum_{l \in I} \omega_{lj} - \sum_{l \notin I} \omega_{lj} > w_{0k} + \sum_{l \in I, j \in I} \omega_{lj} - \sum_{l \notin I, j \leq k} \omega_{lj} > w_{0k-1} + \sum_{l \in I, j \in I} \omega_{lj} - \sum_{l \notin I, j \leq k-1} \omega_{lj} \quad (2)$$

$$(D) \quad \bar{T}_k - \sum_{l \in I, j \in I} \omega_{lj} = \frac{1}{2} \left\{ \sum_{i=1}^n w_i - (w_{0k} + \sum_{l \in I, j \in I} \omega_{lj} - \sum_{l \notin I, j \in I} \omega_{lj}) \right\}$$

構成する $(D) < (C)$ が成り立つ。

$$\Rightarrow w_{0j} + \sum_{l \in I} \omega_{lj} - \sum_{l \notin I} \omega_{lj} < w_{0k} + \sum_{l \in I, j \in I} \omega_{lj} - \sum_{l \notin I, j \in I} \omega_{lj} \quad (3).$$

(2), (3) より次の性質が成り立つ。

[性質 2.6] k 個の素子のハイブリッド回路網が $(2^k - 1)$ のしきい値を生ずるための十分条件は、 $w_{im} = w_{in}$, ($i < n, m$) および次の (4a), (4b) が成り立つこと。

$$(4a) \quad w_{ok} > w_{ok-1} + w_{k-1,k}, \quad (4b) \quad w_{ok} + w_{jk} - \sum_{j < k}^{k-1} w_{ek} < w_{oj} < \\ w_{ok} - w_{jk} + \sum_{j < k}^{k-1} w_{ek}. \quad 1 \leq j \leq k-1.$$

次に [性質 2.6] の順序関係を崩した場合に、しきい値の減少の様子が如何になるかを述べる。

其 1.1. $T_k - \sum_{l \in I, l, k-1} w_{ek}$ と $T_{k-1} - \sum_{l \in I, j} w_{ek-1}$ の順序を入れ替る。

$\Rightarrow w_{ok-1} < w_{ok} + w_{k-1,k}$ (5a), $j \neq k-1$ では (4b) を満足するとする。この条件の場合、

$$T_j - \sum_{l \in I} w_{ej} < WX < T_k - \sum_{l \in I, j} w_{ek} \Rightarrow H_k = 0$$

$$T_k - \sum_{l \in I, j} w_{ek} < WX < T_k - \sum_{l \in I, j, k-1} w_{ek} \Rightarrow H_k = 1$$

$$T_k - \sum_{l \in I, j, k-1} w_{ek} < WX < T_{k-1} - \sum_{l \in I, j} w_{ek} \Rightarrow H_k = 1$$

この場合のしきい値の数は、 T_{k-1} に関するしきい値と、その右隣りにあつて T_k に関するしきい値が消去されるから

$$(2^k - 1) - 2 \cdot 2^{k-2} = 2^{k-1} - 1.$$

其 1.2 ある j に対して $T_j - \sum_{l \in I} w_{ej}$ と $T_k - \sum_{l \in I, j} w_{ek}$ の順序関係を入れ替える。 $\Rightarrow w_{oj} < w_{ok} + w_{jk} - \sum_{j < k}^{k-1} w_{ek}$ (5b)

この場合、ある j に対して (5b) であれば、 T_j に関するしきい値と、その右隣りにあつて T_k に関するしきい値が消去され

るから、しきい値の数は次の通り。 $(2^k - 1) - 2 \cdot 2^{j-1}$

(5b) を満す j の集合を J とすれば、しきい値の数は、

$$2^k - 1 - 2 \sum_{j \in J} 2^{j-1}.$$

$j = k-1, j = k-2, \dots, j = 1$ と順次 (5b) を満すようにすれば、しきい値の数の減少の様子は、 $2^k - 1, 2^{k-1} - 1, 2^{k-2} - 1, \dots, 3, 1$ 。

其 2.1 $T_k - \sum_{\ell \in I, j \neq \ell} w_{\ell k}$ と $T_{k-1} - \sum_{\ell \in I, j \neq \ell} w_{\ell k-1}$ との順序を入れ替える。 $\Rightarrow w_{0k} < w_{0k-1} + w_{k-1,k}$ (6a)

(6a) は (4a) に反する様にとつてこと。このとき $j \neq k-1$ では (4b) を満すとは $T_j - \sum_{\ell \in I} w_{\ell j} < T_k - \sum_{\ell \in I, j, k-1} w_{\ell k}$ と T_j は。

従って、しきい値の数は、 T_{k-1} に属するしきい値と、その左隣りにあつて T_k に属するしきい値が消去されるから

$$(2^k - 1) - 2 \cdot 2^{k-2} = 2^{k-2} - 1.$$

其 2.2 $T_k - \sum_{\ell \in I, j < \ell}^{k-1} w_{\ell k}$ と $T_j - \sum_{\ell \in I} w_{\ell j}$ との順序を入れ替える。
 $\Rightarrow w_{0j} > w_{0k} - w_{jk} + \sum_{\ell=j+1}^{k-1} w_{\ell k}$ (6b)

しきい値の数は T_j に属するしきい値と、その左隣りにあつて T_k に属するしきい値が消去されるから、 $(2^k - 1) - 2 \cdot 2^{j-1}$ 。

(6b) を満す j の集合を J とすれば、しきい値の数は、

$$2^k - 1 - 2 \sum_{j \in J} 2^{j-1}.$$

$j = k-1, j = k-2, \dots, j = 1$ と順次 (6b) を満すには、しきい値の数の減少の様子は、 $2^k - 1, 2^{k-1} - 1, 2^{k-2} - 1, \dots, 3, 1$ 。

以上の考察から次の性質が成り立つ。

[性質2.7] K 個の素子によるハイアリッド回路網に於ては、しきい値と、素子間の結合度を変えることにより、発生するしきい値の数を、1から $2^K - 1$ までのすべての奇数個にできる。

2.7. 各回路網の論理関数実現能力.

各回路網に於て、すべての素子の同一あもみベクトルを固定し、しきい値を可変（結合度も可変）とした場合、実現される n 変数論理関数と、素子数 K の関係式を与える。

[定義] 変数 n に対して、あもみを 2^{n-1} とするあもみベクトルを Canonical weight vector (CWV) と定義する。

[補題1] 1個のしきい値素子のあもみを固定して、しきい値を変化させた場合に実現される異 n 変数論理関数の数は、 $2^n + 1$ より大なることはない。

(証明). あもみの和は、 $w_1, w_2, \dots, w_n; w_1+w_2, \dots, \dots; w_1+w_2+\dots+w_n$ の $2^n - 1$ 通りあり、あもみベクトルを CWV とするば、それにはすべて対応する。各和に対してしきい値を適当にとれば、各々が n 変数しきい値関数に対応する。明らかに n 変数 $0, 1$ を加えれば補題1が成り立つ。■

[性質2.8] カスケード回路網または、2層回路網に於て、各素子の同一のあもみベクトルを固定して、しきい値を可変（結合度も可変）にすることによって実現される n 変数論理

実数の数 R_k^n は次式で与えられる。

$$R_k^n = 2^n + 1 + \sum_{i=1}^{2^{n-1}} \sum_{j=1}^{k-1} \binom{i}{2j-1} (2^n - i). \quad (2.6)$$

但し, $1 \leq j \leq i+1/2$, k は素子数。

(証明). $\sum_{i=1}^n w_i z_i$ の値がすべて異なる場合 (例えば w_i がもみベクトルに CWV をとる), その値に $1, 2, \dots, 2^n$ と小さい順に番号をつける。カスケード回路網 (又は 2 層回路網) の場合最大 $(2k-1)$ 個のしきい値が得られるが, しきい値にも番号をつける。(図 2.7). $i < T_2 < i+1$ なる場合, T_2 以下のしきい値を固定し, w を変化させると $(2^n - i)$ 通りの H_k のパターンが得られる。また, T_1 を固定して置いて, $T_3, T_4, \dots, T_{2j+1}$ の $(2j-1)$ 個のしきい値を変化させると $\binom{i}{2j-1}$ 通りの H_k のパターンが得られる。但し, $1 \leq j \leq i+1/2$, $1 \leq j \leq k-1$.

従ってある i に対して $\binom{i}{2j-1} (2^n - i)$ 通りの H_k の異なるパターンが異なる。各パターンは論理函数に 1 対 1 対応するから、得られたパターンの数は論理函数の数となる。■

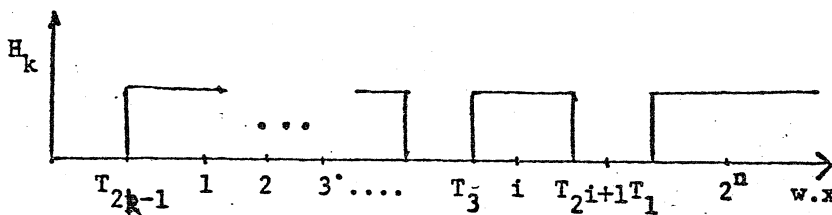


図 2.7.

[性質2.9] ハイブリッド回路網に於て、各要素の同一あるいはベクトルを固定して、しきい値を可変（結合度も可変）にあることによつて実現されるn変数論理函数の数 R_k^n は次式の上限をもつ。

$$R_k^n \leq 2^n + 1 + \sum_{i=1}^{2^n-1} \sum_{j=1}^{2^{k-1}} \binom{i}{2^j-1} (2^n - i). \quad (2.7)$$

証明は、ハイブリッド回路網のしきい値の最大数が $2^k - 1$ であることを用いて[性質2.8]と同様になされる。（得られるしきい値が独立でないものがあるから上限を与える。）

[補題2] $K \times K$ 2次元格子状回路網に於て、得られるしきい値の最大個数 $(2K-1)^2$ の中で、独立なしきい値の個数は $K(3K-2)$ 。
(証明略)

[性質2.10] $K \times K$ 2次元格子状回路網に於て、各要素の同一あるいはベクトルを固定して、しきい値を可変（結合度も可変）にあることによつて実現されるn変数論理函数の数 $R_{K \times K}^n$ は次の範囲にある。

上限； $R_{K \times K}^n \leq 2^n + 1 + \sum_{i=1}^{2^n-1} \sum_{j=1}^{\frac{(2K-1)^2+1}{2}} \binom{i}{2^j-1} (2^n - i). \quad (2.8)$

下限；

K ; 奇数. $\sum_{i=1}^{2^n-1} \sum_{j=1}^{\frac{(3K-1)(K+1)}{2}} \binom{i}{2^j-1} (2^n - i) + 2^n + 1 \leq R_{K \times K}^n,$

K ; 偶数. $\sum_{i=1}^{2^n-1} \sum_{j=1}^{\frac{K(3K-2)-2}{2}} \binom{i}{2^j} (2^n - i) + 2^n + 1 \leq R_{K \times K}^n. \quad (2.9)$

§ 3. 回路網による論理関数実現。

3.1. 奇関数, 偶関数と周期関数。

論理関数 $f(x_1, \dots, x_m)$ の真理値表に於る i 番目の関数値を f_i とすれば、反転関数 $\bar{f}(\bar{x}_1, \dots, \bar{x}_m)$ の i 番目の関数値は f_{2^n-1-i} 。
 [定義] すべての i に対して, $f_i = \bar{f}_{2^n-1-i}$ である関数を奇関数, すべての i に対して, $f_i = f_{2^n-1-i}$ である関数を偶関数と定義する。

[性質 3.1] 奇関数は奇数個, 偶関数は偶数個のしきい値を有する。

(証明) $f(x_1, \dots, x_m) = f(x)$ とおく。あるベクトルを w , 入力ベクトルを x_i ($i=0, 1, \dots, 2^n-1$) とする。

\check{x} ; $w \cdot \check{x} = \max_i (w \cdot x_i)$, \hat{x} ; $w \cdot \hat{x} = \min_i (w \cdot x_i)$ とする
 と $\hat{x} = \overline{\check{x}}$ であるから, $f(\hat{x}) = f(\overline{\check{x}})$ が成り立つ。 $f(x)$ を奇関数とすると $f(x) = \bar{f}(\check{x})$, 偶関数とすると $f(x) = f(\check{x})$ 。

一方奇数個のしきい値を有する関数は $f(\check{x}) = \bar{f}(\hat{x})$, 偶数個のしきい値を有する関数は, $f(\check{x}) = f(\hat{x})$ が成り立つ。

$f(x)$ が奇関数の場合; $f(x) = \bar{f}(\check{x}) \Rightarrow f(\check{x}) = \bar{f}(\overline{\check{x}}) = \bar{f}(\hat{x})$

$f(x)$ が偶関数の場合; $f(x) = f(\check{x}) \Rightarrow f(\check{x}) = f(\overline{\check{x}}) = f(\hat{x})$

従って性質が成り立つ。 |

[性質 3.2]. n 変数パリティ関数 $f = x_1 \oplus x_2 \oplus \dots \oplus x_n$ は, n が偶数, 奇数で各自偶関数, 奇関数である。またパリティ関数

は、各変数について対称であるから、各変数に対するあらみをすべて1とおくことができ、その場合、しきい値の個数は n 。

(証明) パリティ関数は、変数の奇数個が1をとるとき1となる函数であるから、変数のうち $(2i-1)$ 個が1であるとき i ($i = 1, 2, \dots, [\frac{n+1}{2}]$)、 $f = \bar{x}_1 \oplus \bar{x}_2 \oplus \dots \oplus \bar{x}_m$ では $n-(2i-1)$ 個の変数が1となるから

$$1) n = 2j \Rightarrow n - (2i-1) = 2(j-i) + 1 \Rightarrow f = f' ; \text{偶関数}.$$

$$2) n = 2j - 1 \Rightarrow n - (2i-1) = 2(j-i) \Rightarrow \bar{f} = f' ; \text{奇関数}.$$

対称関数では、各変数のあらみは1とだけある。対称関数は一般に $S_{\alpha_1, \alpha_2, \dots, \alpha_k}(x_1, x_2, \dots, x_m)$ で表わす。パリティ関数は $S_{1, 3, 5, \dots}(x_1, x_2, \dots, x_m)$ と表わせる。但し対称関数は α_i ($1 \leq i \leq k$) 個の変数が1をとるばく関数値として1となる。

[性質3.3] n 変数対称関数で最も多くしきい値を必要とするのは、パリティ関数で n 個。

[定義] n 変数論理関数 f に対する Self-dual expression f^{sd} は次の $(n+1)$ 変数論理関数のこと。

$$f^{sd}(x_1, \dots, x_n, x_{n+1}) = x_{n+1} f(x_1, \dots, x_n) + \bar{x}_{n+1} f^d(x_1, \dots, x_n).$$

$$\text{但し } f^d(x_1, \dots, x_n) = \bar{f}(\bar{x}_1, \dots, \bar{x}_n).$$

[補題3.1] f^{sd} は奇関数。

[定義] n 変数論理関数 f に対する Self-complementary dual expression f^{scd} は次の $(n+1)$ 変数論理関数のこと。

$$f^{scd}(x_1, \dots, x_n, x_{n+1}) = x_{n+1} f(x_1, \dots, x_n) + \bar{x}_{n+1} \bar{f}(\bar{x}_1, \dots, \bar{x}_n).$$

[補題 3.2] f^{scd} は偶関数。

[定義] ある論理関数が k 個のしきい値を有し、しきい値が次の様に書けるならば、この関数を周期関数と定義する。

$$\varPhi_{k+1-i} = iP + a, \quad i = 1, \dots, k, \quad P: \text{周期}, \quad a: \text{実数}.$$

[補題 3.3] $\varPhi_1, \dots, \varPhi_k$ が周期関数のしきい値であるならば、

$$\varPhi_1 + \varPhi_k = \varPhi_2 + \varPhi_{k-1} = \dots = 2\varPhi_{k+1/2} = (k+1)P + 2a. \quad (k: \text{奇数}),$$

$$\text{また} \quad \varPhi_1 + \varPhi_k = \varPhi_2 + \varPhi_{k-1} = \dots = \varPhi_{k/2} + \varPhi_{k/2+1} = (k+1)P + 2a.$$

(k : 偶数)。

[性質 3.3] あるベクトルに CWV をとると、 n 渡数周期関数の数は、 $2^n(2^n - 1) + 2$. 対称関数では、各渡数のうちも全をすべて 1 とすれば周期関数の数は $n(n+1) + 2$.

[補題 3.4] $f(x)$ が $[w; \varPhi_1, \dots, \varPhi_k]$ で実現される関数のとき、 $\bar{f}(x)$, $f^a(x)$ は各々 $[-w; -\varPhi_k, \dots, -\varPhi_1]$, $[w; \sum_{i=1}^n w_i - \varPhi_k, \dots, \sum_{i=1}^n w_i - \varPhi_1]$ で実現される。

[性質 3.4] $f(x)$ が k 個 (k : 奇数) のしきい値を有する奇関数であるための必要十分条件.

$$\varPhi_1 + \varPhi_k = \varPhi_2 + \varPhi_{k-1} = \dots = 2\varPhi_{k+1/2} = \sum_{i=1}^n w_i.$$

(証明). $f(x)$ が奇関数で $[w; \varPhi_1, \dots, \varPhi_k]$ で実現されると仮定すれば、 $f^a(x)$ は $[w; \sum_{i=1}^n w_i - \varPhi_k, \dots, \sum_{i=1}^n w_i - \varPhi_1]$ で実現。

$$\text{仮定より}, \quad [w; \varPhi_1, \dots, \varPhi_k] = [w; \sum_{i=1}^n w_i - \varPhi_k, \dots, \sum_{i=1}^n w_i - \varPhi_1]$$

従つて、 $\bar{P}_1 = \sum_{i=1}^n w_i - \bar{P}_k$, $\bar{P}_2 = \sum_{i=1}^n w_i - \bar{P}_{k-1}$, ..., $\bar{P}_{k+\frac{1}{2}} = \sum_{i=1}^n w_i - \bar{P}_{k+\frac{1}{2}}$
であるから条件式が成り立つ。逆に条件式が成り立つならば、
R個のしきい値を有する奇偶数となることは明らかである。■

[補題3.3], [性質3.4]より

[系3.1] R個のしきい値を有する周期函数に於て

$(R+1)p+2a = \sum_{i=1}^n w_i$ であれば奇偶数である。

[性質3.5] $f(x)$ が R個 (R; 偶数) のしきい値を有する偶
函数であるための必要十分条件

$$\bar{P}_1 + \bar{P}_k = \bar{P}_2 + \bar{P}_{k-1} = \cdots = \bar{P}_{k/2} + \bar{P}_{k/2+1} = \sum_{i=1}^n w_i \quad (\text{証明略})$$

[性質3.6] $f(x)$ の R個 (R; 奇数) のしきい値が、

$\bar{P}_1 + \bar{P}_k = \bar{P}_2 + \bar{P}_{k-1} = \cdots = 2\bar{P}_{k+\frac{1}{2}}$ であるならば, f^{sd} は,

$[W, \sum_{i=1}^n w_i - 2\bar{P}_{k+\frac{1}{2}}; \sum_{i=1}^n w_i - \bar{P}_k, \dots, \sum_{i=1}^n w_i - \bar{P}_1]$ で実現される。

(証明). $g_{m+1}(x)$ が $[W, \sum_{i=1}^n w_i - 2\bar{P}_{k+\frac{1}{2}}; \sum_{i=1}^n w_i - \bar{P}_k, \dots, \sum_{i=1}^n w_i - \bar{P}_1]$ で
実現されるとすれば, $g_{m+1}(x)$ は奇偶数。

$$g_{m+1}(x) = \bar{x}_{m+1} g_m(x, 1) + \bar{x}_{m+1} g_m(x, 0) \text{ であるから,}$$

$g_m(x, 1); [W; (\sum_{i=1}^n w_i - \bar{P}_k) - (\sum_{i=1}^n w_i - 2\bar{P}_{k+\frac{1}{2}}), \dots, (\sum_{i=1}^n w_i - \bar{P}_1) - (\sum_{i=1}^n w_i - 2\bar{P}_{k+\frac{1}{2}})]$

$g_m(x, 0); [W; \sum_{i=1}^n w_i - \bar{P}_k, \dots, \sum_{i=1}^n w_i - \bar{P}_1]$ で実現される。

条件式より, $(\sum_{i=1}^n w_i - \bar{P}_k) - (\sum_{i=1}^n w_i - 2\bar{P}_{k+\frac{1}{2}}) = \bar{P}_1, \dots,$

$(\sum_{i=1}^n w_i - \bar{P}_1) - (\sum_{i=1}^n w_i - 2\bar{P}_{k+\frac{1}{2}}) = \bar{P}_k$ であるから $g_m(x, 1)$ は

$[W; \bar{P}_1, \dots, \bar{P}_k]$ で実現。 $\therefore g_m(x, 1) = f(x)$, $g_m(x, 0)$ は [補
題3.4] たり $f^d(x)$ となり $g_{m+1}(x) = f^{sd}(x)$. ■

[性質3.7] $f(x)$ の R 個 (R : 偶数) のしきい値が、

$T_1 + T_k = T_2 + T_{R-1} = \dots = T_{k/2} + T_{k/2+1}$ であれば、 f^{scd} は、
 $[W, \sum_{i=1}^n w_i - (T_{k/2} + T_{k/2+1}); \sum_{i=1}^n w_i - T_k, \dots, \sum_{i=1}^n w_i - T_1]$ を
 実現される。(証明略)

[系3.3] $f(x)$ が周期函数で R 個のしきい値を有していれば、 f^{sd} , f^{scd} も R 個のしきい値を有する。

3.2. ハイアリット回路網と周期函数。

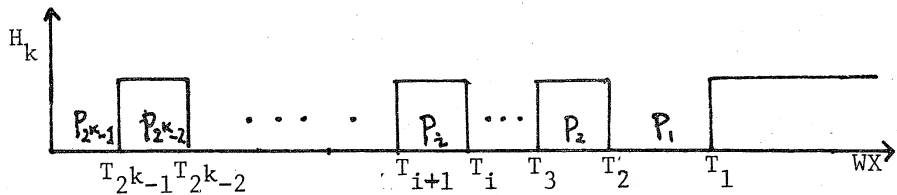


図3.1.

[性質2.6] が成り立つ場合のハイアリット回路網と論理函数について考察する。図3.1に示すように $T_i - T_{i+1} = P_i$ とおく。しきい値の構成法より次式が成り立つ。

$$|\omega_{k-j,k}| = \sum_{i=1}^{2^j} P_i.$$

$$P_i = P \text{ (任意の } i \text{ に対して)} \Rightarrow |\omega_{k-j,k}| = 2^j P.$$

[性質3.8] 周期函数を、ハイアリット回路網で実現するには次式が成り立つ。 $P = \frac{1}{4} \{ \omega_{0k} - \omega_{0k-1} \}$; 周期。

また素子数 K については $K = n + 1$ であることが十分。

$$(証明), T_k = \frac{1}{2} \left\{ \sum_{i=1}^n w_i - (\omega_{0k} - \sum_{l=1}^{K-1} \omega_{lk}) \right\}, T_{k-1} = \frac{1}{2} \left\{ \sum_{i=1}^n w_i - (\omega_{0k-1} - \sum_{l=1}^{K-2} \omega_{lk-1}) \right\}$$

$$P = T_{k-1} - T_k, \omega_{in} = \omega_{im} + 1$$

$$P = \frac{1}{2} \{ w_{ok} - w_{ok-1} - \omega_{k-1,k} \} \Rightarrow P = \frac{1}{4} \{ w_{ok} - w_{ok-1} \}.$$

3.3. 部分対称関数のあたりベクトル

論理関数 $f(x_1, \dots, x_m)$ が変数 x_1, \dots, x_k に関して対称である場合、次の様に表わせる。

$$f(x_1, \dots, x_m) = \sum_{i=0}^k S_i(x_1, \dots, x_k) \cdot f_i(x_{k+1}, \dots, x_m).$$

$$\text{但し, } f_i(x_{k+1}, \dots, x_m) = f(\underbrace{1, \dots, 1}_i, \underbrace{0, \dots, 0}_{k-i}, x_{k+1}, \dots, x_m)$$

この部分対称関数を変数 x_{k+1}, \dots, x_m について展開すれば次式が得られる。

$$f(x_1, \dots, x_m) = \bar{x}_{k+1} \cdot \bar{x}_{k+2} \cdots \bar{x}_m \cdot S_{P_0}(x_1, \dots, x_k) + x_{k+1} \cdot \bar{x}_{k+2} \cdots \bar{x}_m \cdot S_{P_1}(x_1, \dots, x_k) \\ + \cdots + x_{k+1} \cdot x_{k+2} \cdots x_m \cdot S_{P_{2^{m-k}-1}}(x_1, \dots, x_k).$$

$$\text{但し, } S_{P_0} = f(x_1, \dots, x_k, 0, 0, \dots, 0), S_{P_1} = f(x_1, \dots, x_k, 1, 0, \dots, 0), \\ \cdots, S_{P_{2^{m-k}-1}} = f(x_1, \dots, x_k, 1, 1, \dots, 1).$$

変数 x_i^* ($x_i^* = x_i, \bar{x}_i$) のあたりを w_i とすることは、変数 x_i^* が w_i あることに對応する。対称な変数に屬するあたりをすべて 1 とする。変数 x_{k+j}^* のあたりを w_{k+j} ($1 \leq j \leq m-k$) とすれば上記の関数は次の様に表わされる。

$$f(x_1, \dots, x_m) = \bar{x}_{k+1} \cdot \bar{x}_{k+2} \cdots \bar{x}_m \cdot S_P(x_1, \dots, x_k) + x_{k+1} \cdot \bar{x}_{k+2} \cdots \bar{x}_m \cdot S_{P-w_{k+1}}(x_1, \dots, x_k) \\ + \cdots + x_{k+1} \cdot x_{k+2} \cdots x_m \cdot S_{P-\sum_{j=1}^{m-k} w_{k+j}}(x_1, \dots, x_k).$$

但し P は関数値が 1 を i 入力ベクトルに於ける $\sum_{i=1}^n w_i x_i$ の値の集合。

各 (x_{k+1}, \dots, x_n) に対してとりうる $\sum_{i=1}^n w_i x_i$ の範囲を次に示す。

$$(0, 0, \dots, 0) \Rightarrow [0, R], \quad (1, 0, \dots, 0) \Rightarrow [w_{k+1}, k + w_{k+1}],$$

$$(0, 1, \dots, 0) \Rightarrow [w_{k+2}, k + w_{k+2}], \dots, (1, 1, \dots, 1) \Rightarrow [\sum_{i=k+1}^n w_i, k + \sum_{i=k+1}^n w_i].$$

各 $(x_{k+1}, x_{k+2}, \dots, x_n)$ との順序集合 $[\sum_{i=1}^n w_i x_i]$ の各々を互に素にすることを考える。図3.2の配列をすれば (x_{k+1}, \dots, x_n) の各々のあそみは次の様になる。

$$w_{k+1} = k+1, w_{k+2} = 2(k+1), w_{k+3} = 4(k+1), \dots, w_{k+j} = 2^{j-1}(k+1).$$

[性質3.9] n 変数論理関数 $f(x_1, \dots, x_n)$ が, 変数 x_1, \dots, x_k に関して対称な場合, それらのあそみを1とし, x_{k+j} に対しては, あそみを $w_{k+j} = 2^{j-1}(k+1)$ とすれば, これがあそみの上限となる。

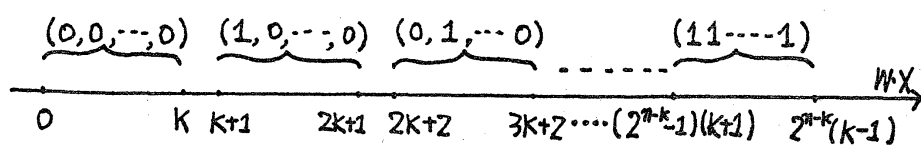


図3.2

次の例は, w_{k+j} の値を $2^{j-1}(k+1)$ 以下にできる。

$$\text{例}] \quad f = x_1 + x_2 x_3 + x_4 x_5.$$

この関数は $(x_2, x_3), (x_4, x_5)$ に関して各自対称と見ていい。この場合, x_2 と x_3 , x_4 と x_5 のあそみは各自同じで 2 。
 $w_2 = w_3 = 1, w_4 = w_5 = 3, w_1 = 6$ 。しきい値の数は 3 。

3.4. 3変数, 4変数論理函数の実現。

論理函数は変数の否定, 因数の否定, 変数の置換をどのように組み合しても相互に移り得ない, いくつかの族に分けられる。それらの各族を非同族函数といい, その数は 3変数函数では 10, 4変数函数では 221 ある。変数の否定, 因数の否定は, しきい値論理からみれば, 各々対応するパラメータの符号を変えることであり, 変数の置換はあらみの置換に対応するから, 各族の代表函数を実現すれば, あとはパラメータの変換で函数全体が実現できる。その結果 3変数論理函数の実現に必要なしきい値の最大個数は 3, 4変数論理函数では 5 である。従って回路網による実現には各々 2 個, 3 個十分である。

3.5. 函数展開に基づく実現。

n 变数論理函数はある变数 x_i に対して

$$f = x_i f(x_i=1) + \bar{x}_i f(x_i=0) \quad \text{と展開できる。}$$

但し $f(x_i=C)$ は論理函数 f の变数 x_i に $C (=1, 0)$ を代入した函数。

[補題 3.5] f_n が n 变数しきい値函数であれば, $f_p = x_k f_n$ もしきい値函数である。

(証明) $f_p = x_k f_n$ についてのしきい値, あらみを次の様にとすれば x_k と f_n に関する真理値表から補題が成り立つ。

$$\begin{aligned} \bar{W}_i^P &= \sum_{i=1}^n W_i^n + 1, \quad W_k^P = \bar{W}^P - \bar{W}^m, \quad (k=n+1); \\ W_k^P &= \bar{W}^P - \bar{W}^m + W_k^m, \quad (k < n+1); \quad W_i^P = W_i^n \quad (i \neq k). \end{aligned}$$

上部の添数 P, n は各自 f_p , f_m に属することを表わす。 |

$f(x_i=1)$ が 2.2 で述べた k_1 個の素子のカスケード回路網で実現されるとき, (2.2), 又は (2.3) と [補題 3.5] より $f(x_i=1)$ は高々 k_1 個の素子のカスケード回路網で実現されることがある。同様に, $f(x_i=0)$ が k_2 個の素子のカスケード回路網で実現されるならば, $\bar{x}_i \cdot f(x_i=0)$ は高々 k_2 個の素子のカスケード回路網で実現される。

[性質 3.10] $f(x_i=1)$ が k_1 , $f(x_i=0)$ が k_2 個の素子で実現されるとき, f は $\max(k_1, k_2) \leq k \leq k_1 + k_2$ なる k で実現される。

[性質 3.10] と 4 变数論理函数が素子数 3 個のカスケード回路網で実現できることから次の性質が成り立つ。

[性質 3.11]. n 变数論理函数を実現するのに必要な素子数を M_n とすれば, 次の範囲で与えられる。

$$3 \cdot 2^{n-5} \leq M_n \leq 3 \cdot 2^{n-4}.$$

[性質 3.12]. $(n+1)$ 变数論理函数 f^{sd} (又は f^{scd}) は, n 变数論理函数 f が P 個の素子で実現されるば, 次の範囲の m 個の素子で実現される。

$$P \leq m \leq 2P.$$

(証明) $f^{sa} = x_{n+1} \cdot f + \bar{x}_{n+1} \cdot f^1$ であるから, f が P 個の要素で実現されるから, $x_{n+1} \cdot f$ も P 個で実現される。 $\bar{x}_{n+1} \cdot f^1$ も [補題 3.4] より P 個で実現される。従って [性質 3.10] より $P \leq m \leq 2P$ なる m で f^{sa} は実現される。 f^{sa} は同様。

結論

本論文では、しきい値回路網の数種類のモデルについて、その性質や能力について考察した。特にハイブリッド回路網の構成についてくわしく述べた。

今後の問題としては、同一要素ベクトルを如何に決定するかということ、各要素の要素ベクトルが異なる場合の可変しきい値回路網の解析、ハイブリッド回路網による擬似論理函数、多値論理函数の合成等がある。

終わりに 日頃熱心に討論して下さる研究室の諸氏に感謝する。

文献

- 1) 安宅彦三郎 "ブール代数" 共立, 昭44.
- 2). M. A. Harrison "Introduction to switching & automata theory" McGraw-Hill, 1965.
- 3). W. Feller "An introduction to probability theory &

its applications Vol 1" John Wiley & Sons, 1957.

4) G.G. Lendaris & G.L. Stanley "On The structure - dependent properties of adaptive logic networks" G. M Defence Research Lab. July, 1963.

5). 室賀, 戸田 "多数決要素の理論" 信学誌 Vol.43, No10, 脚35。

6). 室賀, 高須, 戸田 "線形計画法による多数決要素の構造決定" 信学誌, Vol.43, No12, 脚35。

7). W.S. Meisel "Variable-threshold threshold elements" IE³, Vol. C-17, No7, 1968.

8). W.S. Meisel "Nets of variable-threshold threshold elements" IE³, Vol.C-17, No7, 1968.

9). D.R. Haring, & D. Ohori. "A tabular method for the synthesis of multi-threshold threshold elements" IE³, Vol. EC-16 No4, 1967.

10) R.F. Arnold & M.A. Harrison "Algebraic properties of symmetric and partially symmetric Boolean functions" IE³, Vol. EC-18, No3, 1968.

11). R.H. Canaday "Two-dimensional iterative logic" Proc. F.J. C.C., 1965.

12). 今宮, 野口, 大泉 "しきい値回路網の性質について" 通研談話会

記録, Vol. 40, No 2. 1971.

付録.A.1. カスケード回路網の出力関数(1.4b)の証明。

$$\begin{aligned} H_k &= h_{k-1,k} + h_k \bar{H}_{k-1} = h_{k-1,k} + h_k \{ \bar{h}_{k-1} + \bar{h}_{k-2,k-1} H_{k-2} \} \\ &= h_{k-1,k} + h_k \cdot \bar{h}_{k-1} + h_k \cdot \bar{h}_{k-2,k-1} \cdot H_{k-2}. \end{aligned}$$

kを奇数とし、k-2まで(1.4b)が成り立つと仮定。

$$\begin{aligned} H_{k-2} &= \sum_{j=1}^{k-1/2} \left\{ \prod_{l=j}^{k-1/2} h_{2j-2,2j-1} \cdot \bar{h}_{2l-1,2l} \cdot h_{2l+1} + \prod_{l=j}^{k-1/2} \bar{h}_{2j} \cdot h_{2l+1} \cdot \bar{h}_{2l+1,2l+2} \right\} \\ H_k &= h_{k-1,k} + h_k \cdot \bar{h}_{k-1} + h_k \cdot \bar{h}_{k-2,k-1} \cdot \sum_{j=1}^{k-1/2} \left\{ \prod_{l=j}^{k-1/2} h_{2j-2,2j-1} \cdot \bar{h}_{2l-1,2l} \cdot h_{2l+1} \right. \\ &\quad \left. + \prod_{l=j}^{k-1/2} \bar{h}_{2j} \cdot h_{2l+1} \cdot \bar{h}_{2l+1,2l+2} \right\} \\ &= \sum_{j=1}^{k-1/2} \left\{ \prod_{l=j}^{k-1/2} h_{2j-2,2j-1} \cdot \bar{h}_{2l-1,2l} \cdot h_{2l+1} + \prod_{l=j}^{k-1/2} \bar{h}_{2j} \cdot h_{2l+1} \cdot \bar{h}_{2l+1,2l+2} \right\} \end{aligned}$$

A.2. (2.2) 又は (2.3) の証明。⇒ [性質2.1] の証明。

k(奇数)まで(2.2)を満足すると仮定。

$$\begin{aligned} H_k &= (1^{\omega_{0,k+1}}, \lambda_W, H_k^{\omega_{kk+1}}) = H_k (1^{\omega_{0,k+1} + \omega_{kk+1}}, \lambda_W) \\ &\quad + \bar{H}_k (1^{\omega_{0,k+1} - \omega_{kk+1}}, \lambda_W) \end{aligned}$$

$$\therefore H_{k+1} = H_k \cdot g_{k+1} + \bar{H}_k \cdot f_{k+1},$$

$$\omega_{0,k+1} - \omega_{k,k+1} > \omega_{0k} - \omega_{k-1,k}, \quad \omega_{0k} + \omega_{k-1,k} > \omega_{0,k+1} + \omega_{k,k+1} \neq 1,$$

$$\begin{aligned} H_{k+1} &= g_{k+1} + f_{k+1} \cdot \bar{f}_k + f_{k-1} \cdot \bar{f}_{k-2} + \cdots + f_2 \cdot \bar{f}_1 + g_2 \cdot \bar{g}_3 + \cdots + g_{k-2} \cdot \bar{g}_k \\ &= \sum_{j=1}^{k+1/2} \{ f_{2j} \cdot \bar{f}_{2j-1} + g_{2j} \cdot \bar{g}_{2j+1} \}. \end{aligned}$$